

# RN28

- 1- Coordonnées des emprunts et des points d'eau
- 2- Coupes de sondages
- 3- Résumés des graphiques
- 4- Tableaux récapitulatifs des résultats des essais sur les emprunts
- 5- Carrières rocheuses

## 1- Coordonnées des emprunts et des points d'eau

Tableau 70 : Coordonnées des emprunts

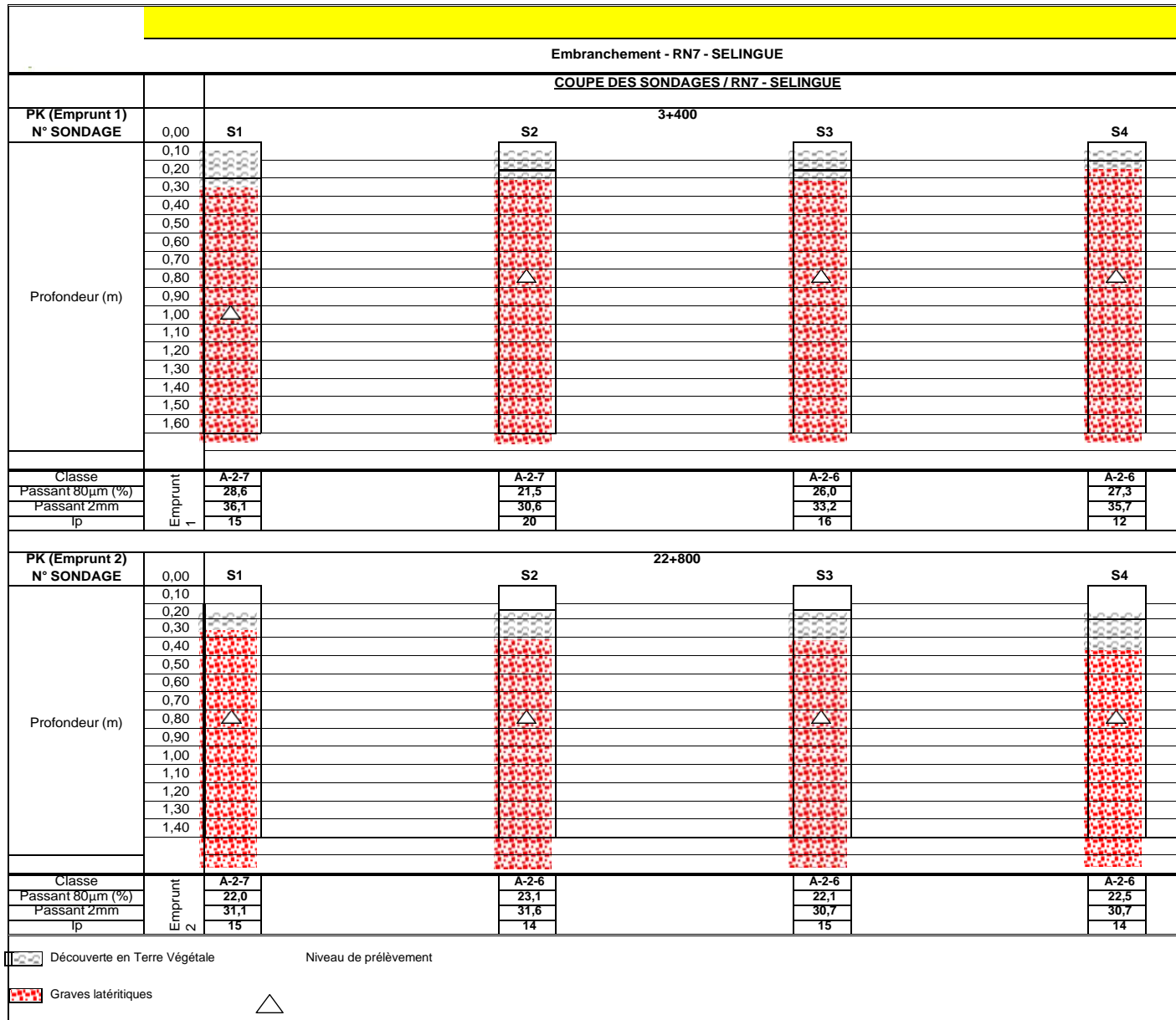
N°	Section	PK ou Profil	Coordonnées GPS (UTM 29P)	Surface (m²)	Épaisseur moyenne (m)		Volume moyen foisonné (m³)	
					Déc.	Expl.	Déc.	Expl.
1	RN7-SELINGUE	3+400	x=0620152 y=1319095	15 399	0.15	1.45	2 310	22 329
2		22+800	x=0603080 y=1309346	16140	0.13	1.28	1 018	20 579
3		32+300	x=0597681 y=1300539	12 752	0.15	1.45	1 913	18 490
4		43+550	x=0591128 y=1291523	12 939	0.13	1.05	1 617	13 586
5		74+300	x=0580262 y=1286292	6 519	0.13	1.48	815	9 616

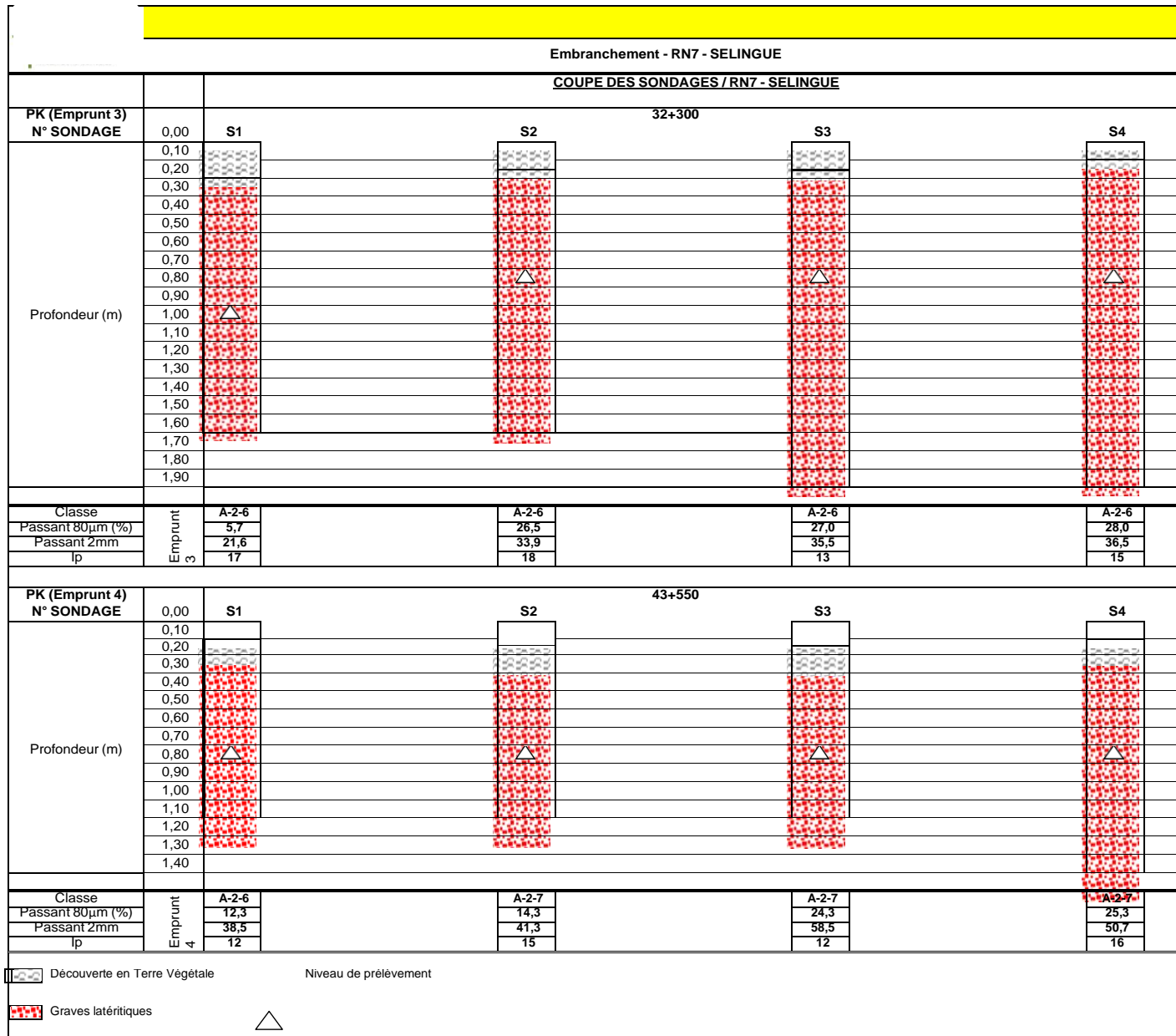
Tableau 71 : Coordonnées des points

N°	Section	Désignation (localité)	Coordonnées GPS (UTM29P)
1		Forage village	x=0598440
		Néneko	y=1301941
2	RN7-SELINGUE	OUÉLÉSSÉB OUGOU	x=0618463 y=1329037
3		Lac de	x=0582069
		SÉLINGUÉ	y=1286987

## 2- Coupes de sondages

---



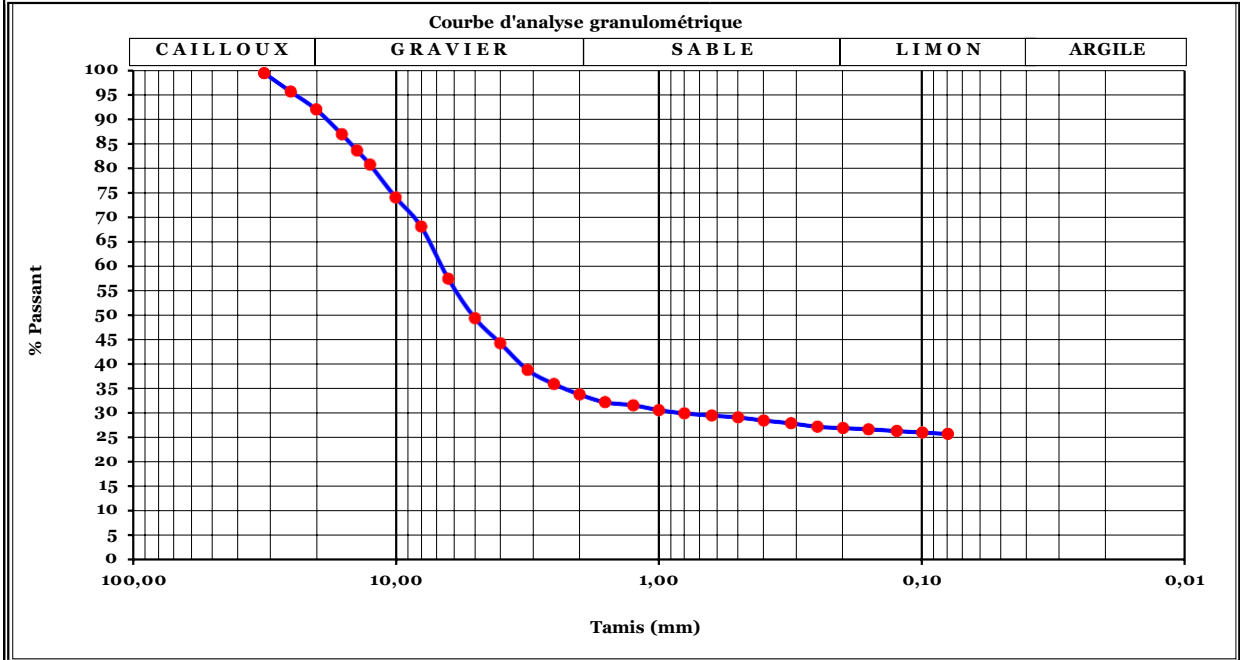




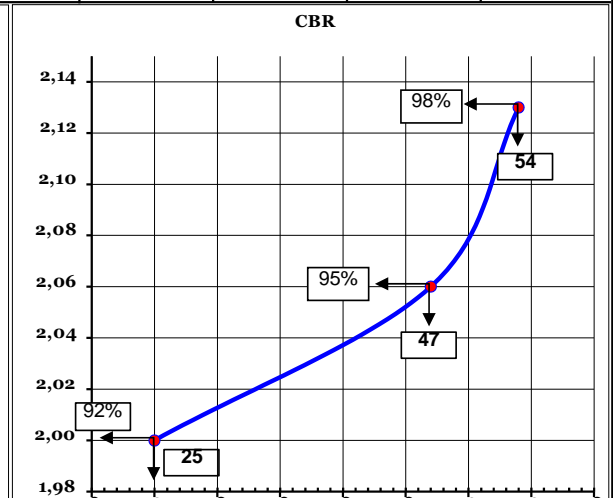
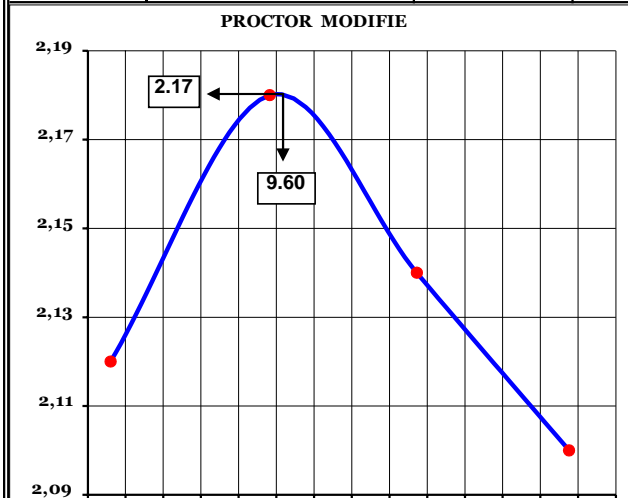
### 3- Résumés des graphiques

---

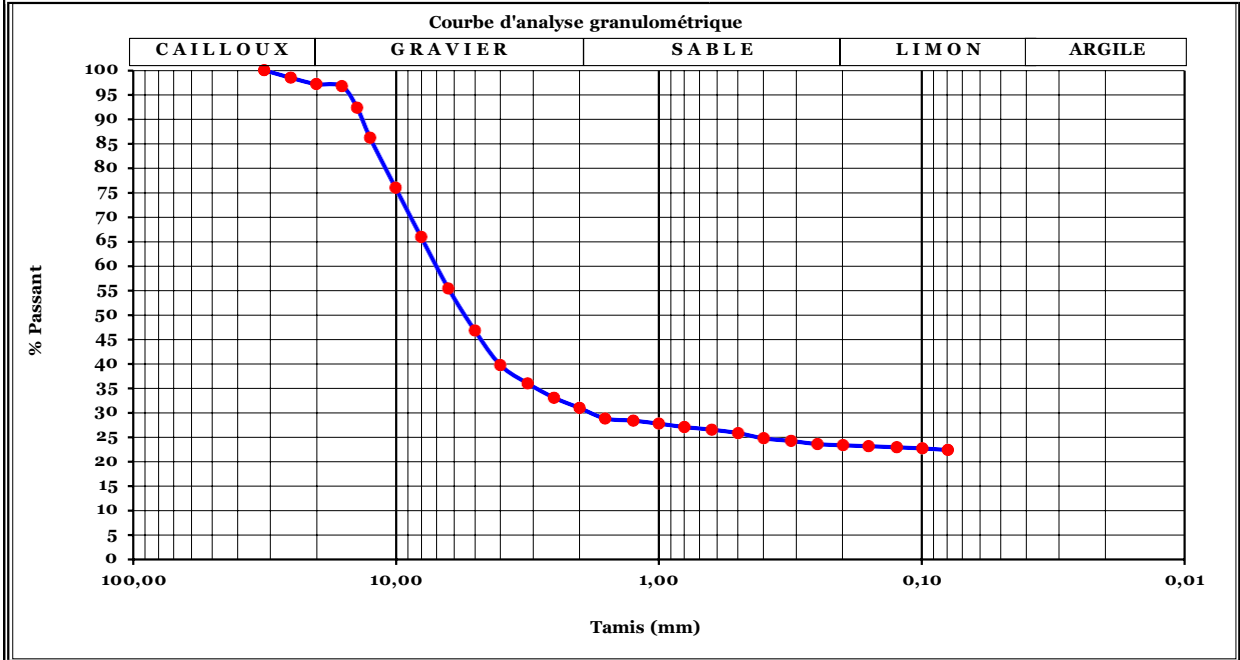
Emprunt latéritique N°1 Situé au PK 3+400				Tronçon : RN7-SELEGUE	
LL	38	CLASSIFICATION			Echantillon : Mélange S1+S2+S3+S4
IP	16	H-R-B	U S C S	R T R	
%<80m	25,9	A-2-6			
IG	1				



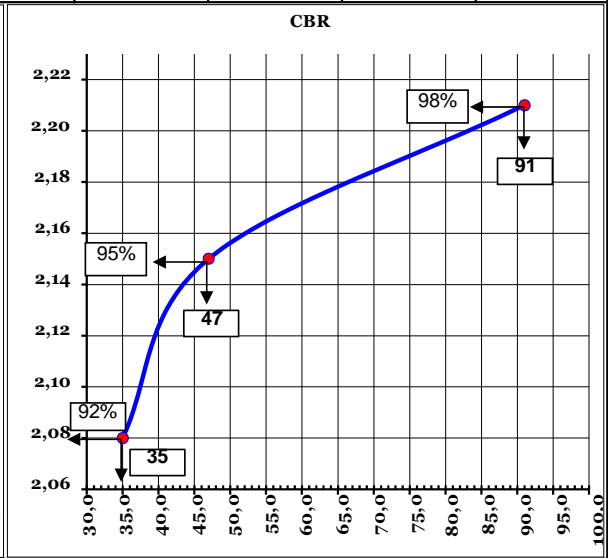
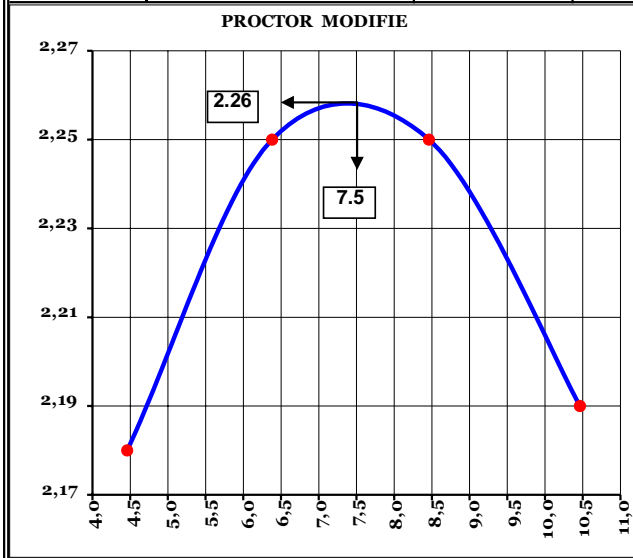
	O.P.M	N	Compacité	γd (t/m³)	CBR	W imb.	Gonfl.
g <sub>d</sub> max =	2,17 t/m³	55 coups	98%	2,13	54	17,4%	-
W <sub>opm</sub> =	9,6 %	25 coups	95%	2,06	47	19,0%	-
W <sub>sat</sub> =	%	12 coups	92%	2,00	25	20,8%	-



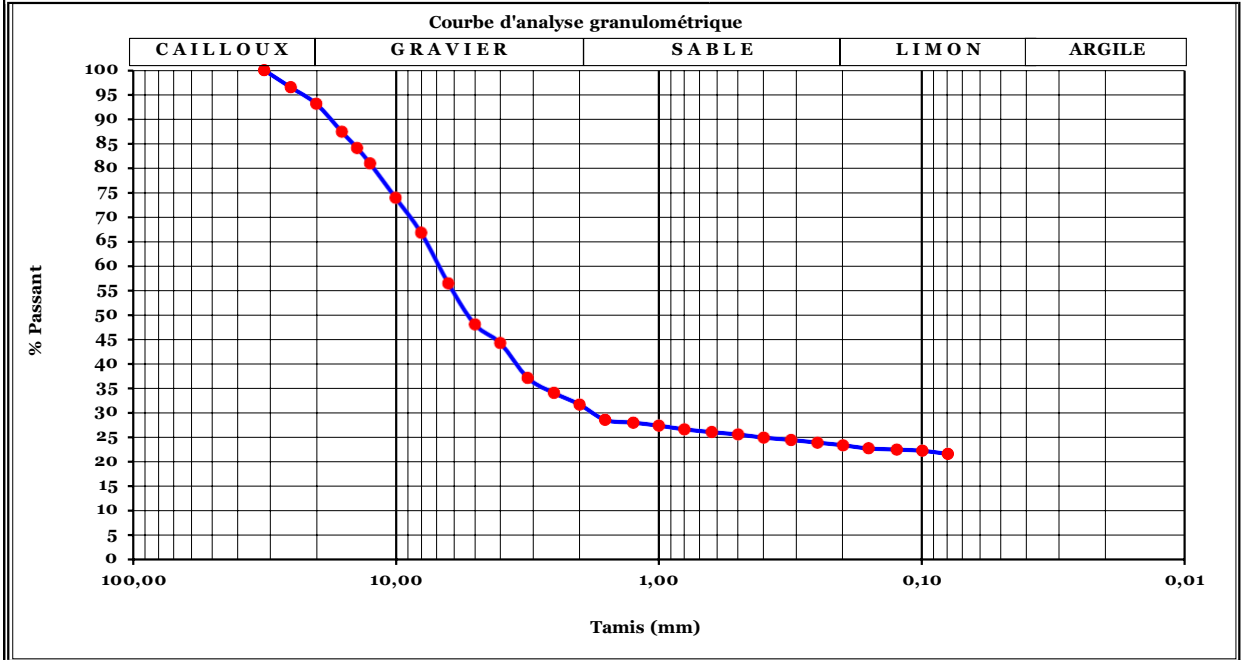
<b>Emprunt latéritique N°2 Situé au PK 22+800</b>				<b>Tronçon : RN7-SELEGUE</b>	
LL	38	<b>CLASSIFICATION</b>			Echantillon : Mélange S1+S2+S3+S4
IP	14	H-R-B	U S C S	RTR	
%<80m	22,4	A-2-6			
IG	0				



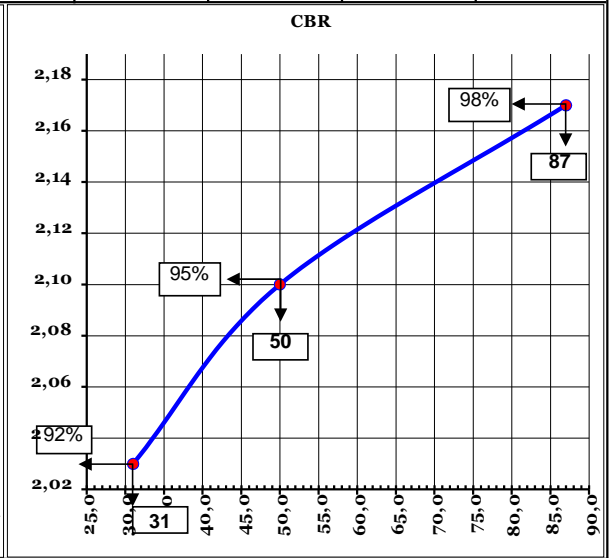
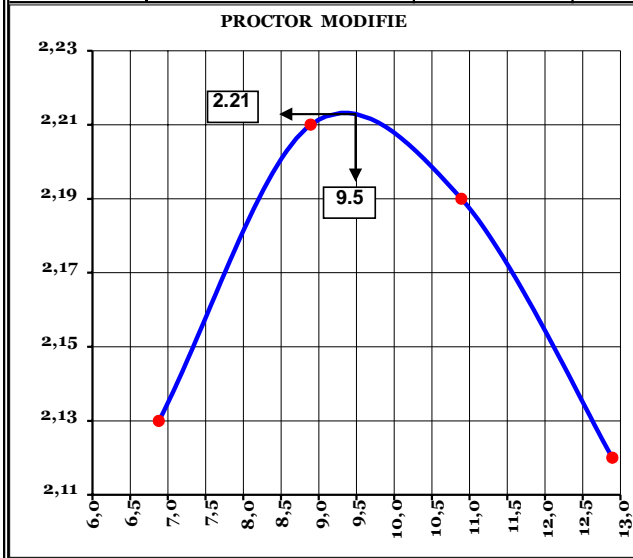
	O.P.M	N	Compacité	γd (t/m³)	CBR	W imb.	Gonfl.
g <sub>d</sub> max =	2,26 t/m³	55 coups	98%	2,21	91	17,4%	-
W <sub>opm</sub> =	7,5 %	25 coups	95%	2,15	47	19,0%	-
W <sub>sat</sub> =	%	12 coups	92%	2,08	35	20,8%	-



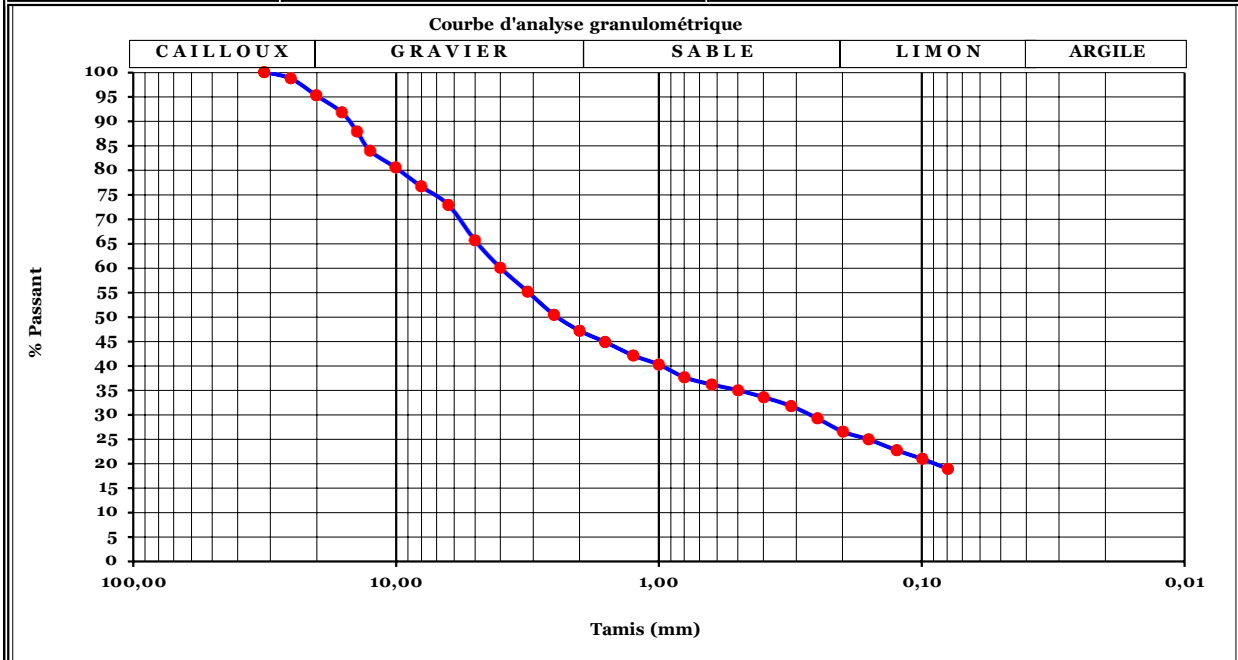
Emprunt latéritique N°3 Situé au PK 32+300				Tronçon : RN7-SELEGUE	
LL	36	CLASSIFICATION			Echantillon : Mélange S1+S2+S3+S4
IP	16	H-R-B	U S C S	RTR	
%<80m	21,8	A-2-6			
IG	0				



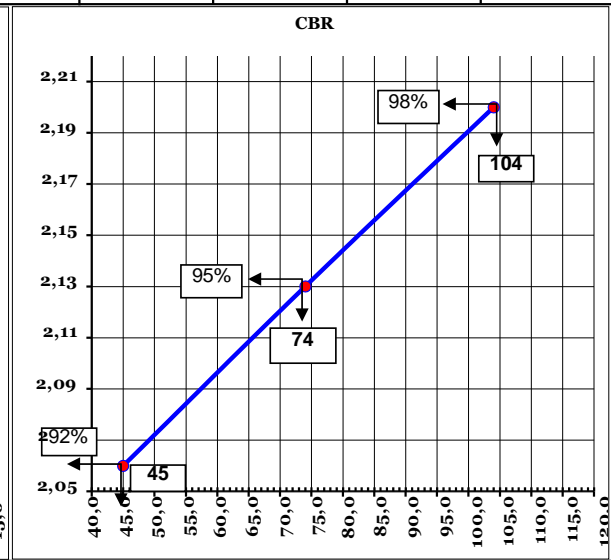
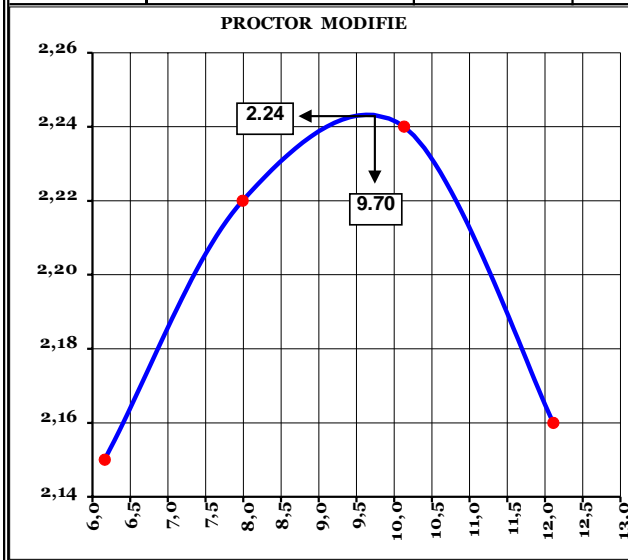
	O.P.M	N	Compacité	γd (t/m³)	CBR	W imb.	Gonfl.
g <sub>d</sub> max =	2,21 t/m³	55 coups	98%	2,17	87	17,4%	-
W <sub>opm</sub> =	9,5 %	25 coups	95%	2,10	50	19,0%	-
W <sub>sat</sub> =	%	12 coups	92%	2,03	31	20,8%	-



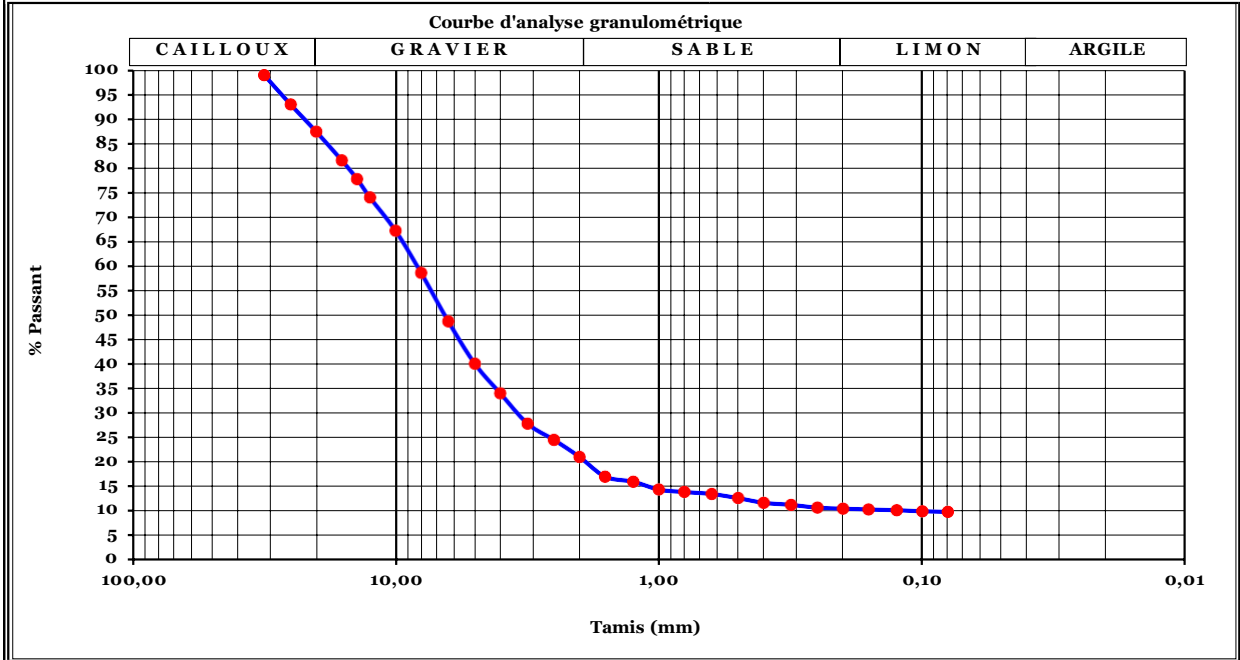
Emprunt latéritique N°4 Situé au PK 43+550					Tronçon : RN7-SELEGUE	
LL	41	CLASSIFICATION			Echantillon : Mélange S1+S2+S3+S4	
IP	14	H-R-B	U S C S	RTR		
%<80m	19,0	A-2-7				
IG	0					



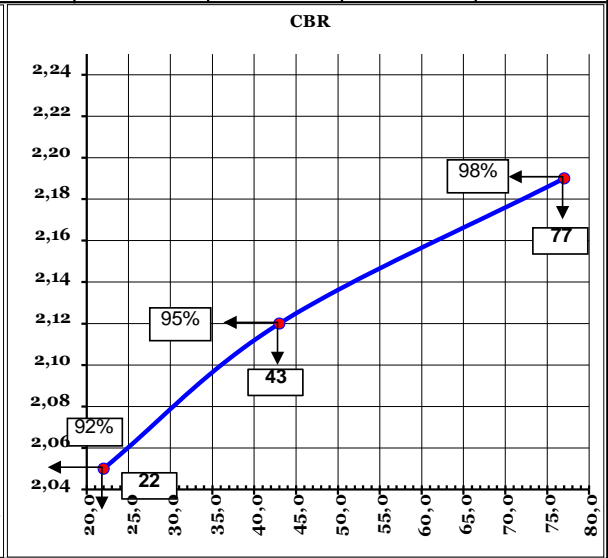
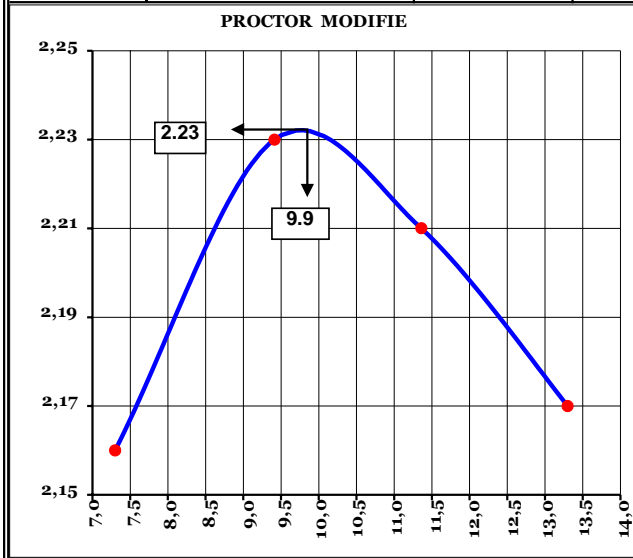
	O.P.M	N	Compacité	γd (t/m³)	CBR	W imb.	Gonfl.
g <sub>d</sub> max =	2,24 t/m³	55 coups	98%	2,20	104	17,4%	-
W <sub>opm</sub> =	9,7 %	25 coups	95%	2,13	74	19,0%	-
W <sub>sat</sub> =	%	12 coups	92%	2,06	45	20,8%	-



Emprunt latéritique N°5 Situé au PK 74+300					Tronçon : RN7-SELEGUE	
LL	20	CLASSIFICATION			Client :	
IP	8	H-R-B	U S C S	RTR	Echantillon : Mélange S1+S2+S3+S4	
%<80m	9,9	A-2-4				
IG	0					



	O.P.M	N	Compacité	γd (t/m³)	CBR	W imb.	Gonfl.
g <sub>d</sub> max =	2,23 t/m³	55 coups	98%	2,19	77	17,4%	-
W <sub>opm</sub> =	9,9 %	25 coups	95%	2,12	43	19,0%	-
W <sub>sat</sub> =	%	12 coups	92%	2,05	22	20,8%	-



## 4- Tableaux récapitulatifs des résultats des essais sur les emprunts



Désignation	Granulometrie % Passant A (mm)											Limites d'Atterberg		Classifi-cation HBR	PROCTOR MODIFIE		CBR A% DE COMPACITE					
	0.08	0.2	0.4	0.5	1	2	5	10	20	25	31.5	LL	IP		DS M	Wo pm	92 %	95 %	98 %	Gonf %		
S1	22	23	24,6	25	27	31	49	78	97	98	100	40	37	A-2-7								
S2	23	23	25,3	27	29	31	40	69	97	99	100	14	14	A-2-6								
S3	22	23	24,9	25	27	30	49	78	97	98	100	39	15	A-2-6								
S4	22	23	24,5	25	27	30	49	77	96	97	100	38	14	A-2-6								
S1+S2+S3+S4	22	23	24,8	25	27	31	46	76	97	98	100	38	14	A-2-6	2,26	7,5	35	45	91			
	Emprunt 3																					
	Faraba-Kangara																					
S1	5,7	8,9	10,0	11	13	21	43	71	93	96	100	39	17	A-2-6								
S2	26	27	28,9	29	31	33	47	73	90	94	100	40	18	A-2-6								
S3	27	28	30,5	31	32	35	50	74	94	97	100	30	13	A-2-6								

Désignation	Granulométrie % Passant A (mm)											Limites Atterberg		Classification HBR	PROCTOR MODIFIE		CBR A% DE COMPACITE			
	0.08	0.2	0.4	0.5	1	2	5	10	20	25	31.5	LL	IP		DSM	Wopm	92 %	95 %	98 %	Gonf %
S4	28	29	31,1	31	33	36	51	76	94	98	100	36	15	A-2-6						
S1+S2+S3+S4	21	23	25,1	25	27	31	48	74	93	96	100	36	16	A-2-6	2,21	9,5	31	<b>50</b>	<b>87</b>	
	Emprunt 4 Kangara-Sélébougou																			
S1	12	21	30,3	31	33	38	58	71	94	100	100	39	12	A-2-6						
S2	14	21	26,0	28	36	41	62	79	96	100	100	44	15	A-2-7						
S3	24	32	41,3	42	49	58	68	78	92	96	100	41	12	A-2-7						
S4	25	31	37,0	38	43	50	73	93	98	98	100	42	12	A-2-7						

Désignation	Granulometrie % Passant A (mm)											Limites Atterber g		Classification HBR	PROCTOR MODIFIE		CBR A% DE COMPACITE					
	0.08	0.2	0.4	0.5	1	2	5	10	20	25	31.5	LL	IP		DSM	W <sub>o</sub> pm	92 %	95%	98 %	Gonf %		
S1+S2+S3+S4	19	26	33,7	35	40	47	65	80	95	98	100	41	14	A-2-7	2,24	9,7	45	74	104			
	Emprunt 5 Sélébougou-Sélingué																					
S1	7,4	8,3	8,9	10	12	20	42	70	93	96	100	29	11	A-2-6								
S2	2,6	3,1	4,5	6,1	7,5	16	37	65	83	91	100	33	8	A-2-4								
S3	3,9	4,1	5,5	6,2	8,9	14	33	60	84	90	95	31	11	A-2-6								
S4	25,6	26	27,9	28	29	32	47	72	89	93	100	31	12	A-2-6								
S1+S2+S3+S4	9,9	10	11,7	12	14	21	40	67	87	92	98	31	11	A-2-4	2,23	9,9	22	43	77			

## 5- Carrières rocheuses

---

Tableau 73: Situation des roches massives

<b>Nature du granulat</b>	<b>Poids spécifique</b>	<b>Densité apparente</b>	<b>LA</b>	<b>MDE</b>
Gravier concassé de Bougouni	2.80	1.79	20	11